

ТОПОЛОГИЯ КВАДРАТИЧНЫХ ОТОБРАЖЕНИЙ И  
ОПТИМАЛЬНОЕ УПРАВЛЕНИЕ "В ЦЕЛОМ"

I. Пусть  $M^k, U$  - гладкие многообразия. Рассмотрим обыкновенное дифференциальное уравнение в  $M^k$ , зависящее от параметров, лежащих в  $U$ :

$$\dot{x} = f(x, u), \quad x|_{t=0} = x_0, \quad u \in U \quad (I)$$

Если каждой ограниченной функции  $T \mapsto u(t), 0 \leq t \leq T$  со значениями в  $U$  сопоставить правый конец траектории уравнения  $\dot{x} = f(x, u(t)), x(0) = x_0$ , то получится отображение  $G_T: u(\cdot) \mapsto x(t)$  пространства  $L_\infty(0, T, U)$  в  $M^k$ . Функции  $u(t)$  называют управлениями, семейство отображений  $G_t, t \geq 0$ , - управляемой системой, а множество  $\sigma_t = \bigcup_{0 \leq \tau \leq t} \text{im } G_\tau$  - множествами достижимости.

Множества  $\sigma_t$  устроены довольно сложно, однако всегда имеется эффективно вычислимое подмногообразие в  $M^k$ , содержащее  $\sigma_t$ , относительно которого  $\sigma_t$  имеют непустую внутренность, поэтому с самого начала можно считать, что внутренность  $\sigma_t$  не пуста. Основные задачи:

I) Охарактеризовать такие допустимые траектории  $x(\tau)$ , что  $x(t) \in \partial \sigma_t, t > 0$  ( $x(t)$  всё время лежит на границе множества достижимости).

II) Оценить группы гомологий множеств  $\mathcal{U}_t = \{(\tau, u(\cdot)) \mid 0 \leq \tau \leq t, G_\tau(u(\cdot)) = x_1\}$  управлений, ведущих в заданную точку  $x_1 \in M^k$ .

В случае, когда множества допустимых скоростей  $f(x, U)$  являются гладкими выпуклыми гиперповерхностями в  $T_x M^k$ ,

I) - есть основная задача вариационного исчисления в формулировке геометрической оптики, а II) - задача теории Морса. Из

теории скользящих режимов Р.В.Гамквелидзе следует, что множества  $f(x, U)$  всегда можно считать выпуклыми, однако размерность этих множеств (число управляющих параметров) в конкретных задачах теории управления обычно намного меньше  $n$ . Тот факт, что число управляющих параметров много меньше размерности конфигурационного многообразия, делает предмет гораздо богаче, чем классическое вариационное исчисление. В действительности, очень содержательные и важные для приложений примеры доставляют уже системы вида

$$\dot{x} = f(x) + g(x)u, \quad u \in \mathbb{R}, \quad (2)$$

где все определяют два (разумеется, не коммутирующих) векторных поля: одно векторное поле возмущается с помощью другого, причем амплитуду и знак возмущения можно менять с течением времени. Если  $M^n$  — однородное многообразие, а  $f, g$  — инвариантные поля, то система (2) называется огиной. Тесно связанный с (2) класс систем дают также вариационные задачи с "неголомными связями".

Все начинается с выявления критических точек отображений  $G_t$  и вычисления гессиана  $G_t''$  в этих точках. И сразу нас ожидает сюрприз....

В классической ситуации дифференциал  $G_t'$  в критической точке заведомо имеет ранг  $n-1$ , гессиан  $G_t'' : \ker G_t' \rightarrow \rightarrow \text{coker } G_t'$  является скалярной квадратичной формой и, чтобы решить задачу I), достаточно выяснить, знакоопределена эта форма или нет, а научившись вычислять индексы таких форм, при некоторой удаче можно решить и задачу II). Однако эта отлаженная схема отказывает уже в самых простых билинейных системах. Рассмотрим систему (2) в случае, когда  $M^n$  — группа Ли, а  $f, g$  — левоинвариантные поля. Дифферен-

циал  $G'_t$  отображения  $G_t$  в нуле (после правого переноса в единицу группы  $M^k$ ) имеет вид

$$G'_t u(\cdot) = \int_0^t e^{\tau \text{ad} f} g(u(\tau)) d\tau.$$

Предположим, что  $M^k$  - полупростая группа Ли и  $\mathfrak{H}$  - под-алгебра Картана, содержащая  $f$ . Тогда

$$\text{im } G'_t = \text{span}\{ \text{ad}^i f g, i \geq 0 \} \subset \mathfrak{H}^+ + \mathbb{R}g.$$

Таким образом,  $\dim \ker G'_t$  никак не меньше, чем ранг группы  $M^k$  минус 1, и если ранг группы больше двух, то гессиан  $G''_t: \ker G'_t \rightarrow \text{coker } G'_t$  - заведомо векторное (не скалярное) квадратичное отображение.

Этот гессиан имеет вид

$$G''_t(u(\cdot)) = \int_0^t \left[ \int_0^\tau e^{\sigma \text{ad} f} g(u(\sigma)) d\sigma, e^{\tau \text{ad} f} g(u(\tau)) \right] d\tau + \text{span}\{ \text{ad}^i f g, i \geq 0 \},$$

$$\int_0^t e^{\tau \text{ad} f} g(u(\tau)) d\tau = 0.$$

Исследование таких интегральных отображений можно свести к красивым конечномерным объектам симплектической геометрии, однако пока мы круто развернемся и выясним, что вообще можно делать с квадратичными отображениями, хотя бы и от конечного числа переменных.

2. Пусть  $P: \mathbb{R}^{N+1} \rightarrow \mathbb{R}^k$  - квадратичное отображение, так что для каждой строки  $w \in \mathbb{R}^{k \times 1}$   $wP$  - вещественная квадратичная форма. Поскольку  $P(x) = P(-x)$ , то определено отображение  $\bar{P}: \mathbb{P}^N \rightarrow \mathbb{R}^k$  "Квадратичные" аналоги задач I), II) имеют вид:

I<sup>2</sup>) В каких случаях верно равенство  $P(\mathbb{R}^{N+1}) = \mathbb{R}^k$  (т.е. система квадратичных уравнений  $P(x) = a$  разрешима  $\forall a \in \mathbb{R}^k$ )?

$\Pi^2$ ) Описать группы гомологий множества  $\bar{p}^{-1}(0)$  (т.е. группы гомологий пересечения  $K$  вещественных квадратик).

Эти две задачи тесно связаны:

Предложение I. При  $k^2 \leq N+1$  (для типичного  $p^{(1)}$  имеем

$$p(\mathbb{R}^{N+1}) = \mathbb{R}^k \Leftrightarrow \bar{p}^{-1}(0) \neq \emptyset,$$

наличие

т.е. нетривиальных решений однородной системы эквивалентно разрешимости неоднородной системы с произвольной правой частью.

Ограничение  $k^2 \leq N+1$ , видимо, можно ослабить, однако совсем убрать нельзя: не говоря о том, что квадратичные отображения  $\bar{p}: \mathbb{R}^{k-1} \rightarrow \mathbb{R}^k$  могут иметь ненулевую степень относительно начала в  $\mathbb{R}^k$ , расслоения Хопфа  $S^{2k-3} \rightarrow S^{k-1}$ ,  $k=3,5,9$ , также реализуются квадратичными отображениями.

Итак, для решения задачи  $I^2$ ) по крайней мере в стабильных размерностях, достаточно предъявить критерий существования нетривиальных вещественных решений однородной системы квадратичных уравнений. Этот совершенно естественный вопрос интересовал нас давно, т.к. он тесно связан с условиями оптимальности, однако ничего путного на эту тему найти не удалось. Теперь, к счастью, можно отвечать и на более глубокие вопросы.

Мы несколько расширим постановку задачи  $\Pi^2$ ) и будем вычислять гомологии не только множества  $\bar{p}^{-1}(0)$ , но также и  $\bar{p}^{-1}(K)$ , где  $K$  — произвольный выпуклый замкнутый

I)

Здесь: для любого  $p$  из некоторого открытого по Зарисскому множества в пространстве квадратичных отображений.

конус в  $\mathbb{R}^k$ . Иными словами, наряду с системами квадратичных уравнений рассматриваются и системы квадратных неравенств.

Если  $k=1$ ,  $p$  — неособая форма, то  $\bar{p}^{-1}(\mathbb{R}_-)=\mathbb{R}^{\text{ind} p}$ ,  
 $\bar{p}^{-1}(0)$  — двулистное накрытие над  $\mathbb{R}^{\text{ind} p-1} \times \mathbb{R}^{\text{ind} p}$ .  
 Для произвольного  $k > 0$  квадратичное отображение  $p$  называется невырожденным относительно конуса  $K$ , если  $\bar{p}: \mathbb{R}^N \rightarrow \mathbb{R}^k$  трансверсально  $K$ . Это расширяется следующим образом:  $p$  вырождено относительно  $K$  в том и только том случае, когда существуют такие ненулевые  $\omega \in K^\circ$ ,  $x \in \ker(\omega p)$ , что  $p(x) \in K$  (здесь  $\mathbb{R}^{k*} \supset K^\circ$  — дуальный конус к  $K$ ).

В дальнейшем рассматриваются только невырожденные отображения (типичное отображение невырождено). Положим  $\mathcal{L} = K^\circ \cap S^{k-1}$  и рассмотрим функцию  $\omega \mapsto \text{ind} \omega p + \dim \ker \omega p$  на  $\mathcal{L}$ , принимающую целые неотрицательные значения. Пусть  $\mathcal{L}_n$  — подмножество в  $\mathcal{L}$ , состоящее из точек, в которых значения этой функции не превосходят  $n$ . Получается фильтрация  $\mathcal{L}_0 \subset \mathcal{L}_1 \subset \dots$  пространства  $\mathcal{L}$  открытыми подмножествами.

Ниже, если не оговорено противное, группы гомологий и когомологий рассматриваются только с коэффициентами из  $\mathbb{Z}_2$ . Рассмотрим таблицу

$$\begin{array}{l} H^0(\mathcal{L}_0), H^1(\mathcal{L}_0), \dots, H^i(\mathcal{L}_0), \dots \\ H^0(\mathcal{L}_1), H^1(\mathcal{L}_1), \dots, H^i(\mathcal{L}_1), \dots \\ \dots \\ H^0(\mathcal{L}_N), H^1(\mathcal{L}_N), \dots, H^i(\mathcal{L}_N), \dots \end{array} \quad (3)$$

Оказывается, существует когомологическая спектральная последовательность, сходящаяся к  $H^*(\mathbb{R}^N \setminus \mathbb{P}^{-1}(K))$ , член  $E_2$  которой совпадает с этой таблицей. Более того, высшие дифференциалы этой спектральной последовательности допускают вполне конструктивное описание.

Произвольная скалярная квадратичная форма имеет вид  $q(x) = (Ax, x)$ , где  $A$  - симметричная  $(N+1) \times (N+1)$ -матрица, пусть  $\lambda_1(A) \leq \dots \leq \lambda_{N+1}(A)$  - ее собственные значения. В пространстве  $\mathcal{M}_N$  всех таких матриц рассмотрим открытые подмножества  $\Lambda_n = \{A \in \mathcal{M}_N \mid \lambda_{n+1}(A) \neq \lambda_{n+2}(A)\}$ ,  $n=0, 1, \dots, N-1$ . Дополнение  $\mathcal{M}_N \setminus \Lambda_n$  является замкнутым псевдомногообразием коразмерности два в  $\mathcal{M}_N$ , пусть  $H^1(\Lambda_n) \rightarrow \gamma_n$  - класс когомологий, значение которого на цикле в  $\Lambda_n$  есть коэффициент зацепления  $\text{mod } 2$  этого цикла с  $\mathcal{M}_N \setminus \Lambda_n$ . Класс  $\gamma_n$  совпадает также с одномерным классом Штифеля-Уитни векторного расслоения над  $\Lambda_n$ , слоем которого над точкой  $A$  является инвариантное подпространство оператора  $A$ , отвечающее собственным значениям  $\lambda_1(A), \dots, \lambda_{n+1}(A)$ .

Положим  $\Gamma_n = \delta \gamma_n \in H^2(\mathcal{M}_N, \Lambda_n)$ , где  $\delta$  - связывающий гомоморфизм в точной последовательности пары  $(\mathcal{M}_N, \Lambda_n)$ . Значение класса  $\Gamma_n$  на относительном цикле есть индексе пересечения  $\text{mod } 2$  этого цикла с  $\mathcal{M}_N \setminus \Lambda_n$ .

Вернемся к квадратичным отображениям  $p: \mathbb{R}^{N+1} \rightarrow \mathbb{R}^k$ . Пусть  $\pi: \omega \mapsto \omega p$ ,  $\omega \in \mathcal{R}$  - отображение  $\mathcal{R}$  в пространство симметричных матриц  $\mathcal{M}_N$ , тогда  $\pi^* \Gamma_n \in H^2(\mathcal{R}, \pi^{-1}(\Lambda_n))$ . Оказывается, группы когомологий пространства  $\mathbb{R}^N \setminus \mathbb{P}^{-1}(K)$  полностью определяются фильтрацией  $\mathcal{R}_n$  и классами  $\pi^* \Gamma_n$ .

Заметим, что  $\mathcal{R}_{n+1} \setminus \mathcal{R}_n \subset \pi^{-1}(\Lambda_n)$  и

$$H^i(\mathcal{R}_n, \pi^{-1}(\Lambda_n)) \approx H^i(\mathcal{R}_{n+1}, \pi^{-1}(\Lambda_n)) \quad (\text{вырезание}).$$

Ниже мы опускаем обозначения однозначно восстанавливаемых из контекста изоморфизмов вырезания и гомоморфизмов групп когомологий, индуцированных вложением одной пары множеств в другую.

**Т е о р е м а.** Имеется когомологическая спектральная последовательность, сходящаяся к  $H^*(\mathbb{P}^N \setminus \bar{p}^{-1}(K))$ , член  $E_2$  которой совпадает с таблицей (3). Дифференциал  $d_2: H^i(\mathcal{R}_n) \rightarrow H^{i+2}(\mathcal{R}_{n+1})$  действует так:  $d_2 \xi = \pi^*(\mathcal{R}_n) \cup \xi$ ; высшие дифференциалы  $d_r, r \geq 3$  индуцированы операциями Масси

$$\xi \mapsto \langle \pi^*(\mathcal{R}_{n+r-1}), \dots, \pi^*(\mathcal{R}_n), \xi \rangle, \text{ где } \xi \in H^i(\mathcal{R}_n), d_j \xi = 0, 2 \leq j \leq r$$

В качестве примера рассмотрим случай  $K=3$ . Здесь уже член  $E_2$  позволяет почти полностью описать когомологии не только  $\mathbb{P}^N \setminus \bar{p}^{-1}(K)$ ,  $n \geq 0$  и  $\bar{p}^{-1}(K)$ . Мы ограничимся случаем  $K=0$ , т.е. системой трех квадратных уравнений от  $N+1$  переменных, причем не будем формулировать общий результат, а приведем несколько интересных следствий. Заметим, что  $\bar{p}^{-1}(0)$  - подмногообразие размерности  $N-3$  в  $\mathbb{P}^N$ ;  $\det \omega \rho$  - однородная форма степени  $N+1$  от  $\omega \in \mathbb{R}^3$  и уравнение  $\det \omega \rho = 0$  определяет кривую степени  $N+1$  в  $\mathbb{P}^2$ , которую мы обозначим  $C_\rho$ . Предположим, что кривая  $C_\rho$  неособа (это типичная ситуация), и пусть  $c_\rho$  - количество ее компонент связности.

1) Если  $N$  нечетно, то  $\chi(\bar{p}^{-1}(0)) = 2\chi\{\omega \in \mathbb{P}^2 \mid \det \omega \rho \leq 0\}$ .  
(при четном  $N$ , конечно,  $\chi(\bar{p}^{-1}(0)) = 0$ ).

2) Пусть  $N \geq 4$ . Если  $\bar{p}^{-1}(0) = \emptyset$ , то  $C_\rho$  состоит из  $\lfloor \frac{N+1}{2} \rfloor$  вложенных друг в друга овалов и, если  $N$  четно,

еще одной компоненты, не стягиваемой в  $\mathbb{P}^2$ . Этот класс кривых, кажется, рассматривался в работах Дубровина в связи с ~~интегрированием дифференциальных уравнений~~ <sup>конечнозонными операторами</sup>. При  $N=3$  имеется еще расслоение Хопфа, которому соответствует пустая кривая, а при  $N=2$  - отображения  $\mathbb{P}^2 \rightarrow S^2$  ненулевой степени, которым соответствуют вещественные ~~кривые~~ <sup>кривые</sup> ~~матричные~~ кривые, состоящие из одной компоненты (отображениям нулевой степени отвечают кривые, состоящие из двух компонент).

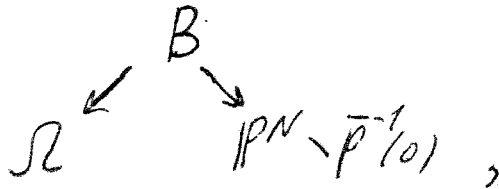
3) Пусть  $N \geq 4$ . Если кривая  $C_p$  не содержит гнезда из вложенных друг в друга  $\lfloor \frac{N-1}{2} \rfloor$  овалов, то многообразие  $\bar{p}^{-1}(0)$  связно.

4) Положим  $m+1 = \min_{\omega \in S^2} \text{ind } \omega p$ , и пусть  $m+1 < \lfloor \frac{N}{2} \rfloor$  (заметим, что  $\alpha' p \circ \omega \circ i \quad m+1 \leq \lfloor \frac{N+1}{2} \rfloor$ ). Оказывается, гомоморфизмы  $H_i(\bar{p}^{-1}(0)) \rightarrow H_i(\mathbb{P}^N) = \mathbb{Z}_2$ , индуцированные вложением  $\bar{p}^{-1}(0) \subset \mathbb{P}^N$ , - ненулевые при  $0 \leq i < m$ , и нулевые при  $m < i$  (напомним, что рассматриваются только гомологии с коэффициентами из  $\mathbb{Z}_2$ ). Гомоморфизм  $H_m(\bar{p}^{-1}(0)) \rightarrow H_m(\mathbb{P}^N) = \mathbb{Z}_2$  может быть как нулевым, так и ненулевым. Пусть  $\varepsilon$  - ранг этого гомоморфизма ( $\varepsilon$  равно нулю либо единице). Вот, на мой взгляд, наиболее интересное следствие про пересечение трех вещественных квадрик:

$$\frac{1}{2} \sum_{i=0}^{N-3} \dim_{\mathbb{Z}_2} H_i(\bar{p}^{-1}(0)) = c_p + 2(m + \varepsilon) - \lfloor \frac{N+1}{2} \rfloor.$$

Теперь объясним, откуда взялась спектральная последовательность. В пространстве  $\mathcal{L} \times \mathbb{P}^N$  рассмотрим подмножество  $B = \{(\omega, x) \mid \omega \bar{p}(x) > 0\}$  Имеем диаграмму





в которой отображения индуцированы координатными проекциями  $\Omega \times \mathbb{P}^N$  на первый и второй сомножители. Легко видеть, что ~~любое~~ <sup>любое</sup> отображение — гомотопическая эквивалентность. Наша спектральная последовательность — это последовательность Лере ~~любого~~ <sup>любого</sup> отображения. Оказывается, ее можно вычислить до конца!

Совершенно аналогично описывается спектральная последовательность, сходящаяся к группам  $H^*(\Omega \times \mathbb{P}^N, B)$ , член  $E_2$  этой "относительной" последовательности имеет вид

$$\left| \begin{array}{l}
 H^0(\mathcal{R}, \mathcal{R}_0), \dots, H^i(\mathcal{R}, \mathcal{R}_0), \dots \\
 H^0(\mathcal{R}, \mathcal{R}_1), \dots, H^i(\mathcal{R}, \mathcal{R}_1), \dots \\
 \dots \\
 H^0(\mathcal{R}, \mathcal{R}_N), \dots, H^i(\mathcal{R}, \mathcal{R}_N), \dots
 \end{array} \right.$$

а высшие дифференциалы по существу те же. Удобно переиндексировать эту последовательность так, чтобы она стала последовательностью 4-й четверти:  $E_2^{i,j} = H^i(\mathcal{R}, \mathcal{R}_j)$ . Тогда

$$\bigoplus_{j-i=k} E_{\infty}^{i,j} \approx H_k(\bar{P}^{-1}(K))$$

, но лишь в "стабильных размерностях"

$k \ll \frac{N+1-k}{k+1}$ . Относительная последовательность особенно удобна при больших  $N$ , она вычисляет гомологии не  $\mathbb{P}^N \setminus \bar{P}^{-1}(K)$ , а непосредственно  $P^{-1}(K)$ . С другой стороны, эта последовательность учитывает и некоторые нестабильные инварианты, например, отображение гомологий  $\bar{P}_* : H_{k-1}(\mathbb{P}^N) \rightarrow H_{k-1}(S^{k-1})$ , если  $\bar{P}^{-1}(0) = \emptyset$ .

Часто бывает важно знать гомологии множества  $P^{-1}(K) \cap S^N$ , которое является прообразом  $\bar{P}^{-1}(K)$  при двулистном накрытии  $S^N \rightarrow \mathbb{P}^N$ . Согласно двойственности Александера, всё равно —

вычислять гомологии  $P^{-1}(K) \cap S^N$  или когомологии  $S^N \setminus P^{-1}(K)$ . Для спектральной последовательности, сходящейся к  $H^*(S^N \setminus P^{-1}(K))$  член  $E_2$  имеет вид

$$\begin{array}{c|c} N & H^*(R_0) \\ & H^*(R_1, R_0) \\ \vdots & \vdots \\ 1 & H^*(R_{N-1}, R_{N-2}) \\ 0 & * \end{array}$$

Высшие дифференциалы снова определяются фильтрацией  $R_n$  и классами  $K^*(f_n)$ , однако операции Масси при этом не участвуют.

Высшие дифференциалы получаются из высших дифференциалов спектральной последовательности самой фильтрации  $R_0 \subset R_1 \subset \dots \subset R_n \subset \dots$  (сходящейся к  $H^*(R)$ ) специальным "подмешиванием" классов  $\gamma_n$ . Например,

$$d_2: H^*(R_n, R_{n-1}) \rightarrow H^{i+2}(R_{n+1}, R_n) \text{ имеет вид}$$

$$d_2 = \delta_n \circ \overline{K^*} \gamma_{n+1} + K^* \gamma_n \circ \delta_n,$$

где  $\delta_n: H^*(R_n, R_{n-1}) \rightarrow H^{i+1}(R_{n+1}, R_n)$  - связывающий гомоморфизм в точной последовательности тройки, а

$$\overline{K^*} \gamma_n \xi = K^* \gamma_n \cup \xi.$$

Вся теория имеет эрмитов и кватернионный варианты. Квадратичное отображение  $p: \mathbb{C}^{N+1} \rightarrow \mathbb{R}^k$  называется эрмитовым, если  $p(ix) = p(x)$  (это означает, что  $\forall \omega$  скалярная форма  $\omega p$  является вещественной частью полуторалинейной комплексной формы). Соответственно, среди квадратичных отображений  $p: \mathbb{H}^{N+1} \rightarrow \mathbb{R}^k$  рассматриваются лишь такие, для которых  $p(ix) = p(jx) = p(x)$ . В эрмитовом случае  $P^{-1}(K) \subset \mathbb{C}P^N$ , а в кватернионном

$P^{-1}(K) \subset \mathbb{H}P^N$ . В спектральных последовательностях как абсолютной, так и относительной заполнена лишь каждая вторая строчка в эрмитовом случае и каждая четвертая - в кватернионном случае. Например, для эрмитовой абсолютной

- II -

последовательности член  $E_2$  имеет вид:

$$\begin{array}{|c} H^1(\mathcal{R}_0) \\ H^0(\mathcal{R}_1) \\ \hline H^1(\mathcal{R}_1) \end{array}$$

Классы  $\gamma_n$  двумерны (а в кватернионном случае четырехмерны) и являются классами Чжэня (Понтрягина) соответствующих расслоений. В отличие от вещественного случая рассматриваются группы когомологий с произвольными коэффициентами.

3. Вернемся к управляемой системе, пусть  $P_t = G_t''$  — квадратичное отображение гильбертова пространства  $\ker G_t'$  в  $\text{coker } G_t' = \mathbb{R}^k$ . Пусть  $\mathbb{R}^k \supset K$  — выпуклый замкнутый конус, гомологии множества  $\overline{P^{-1}(K)}$  можно искать тем же способом, что и в конечномерной ситуации. Для этого необходимо описать фильтрацию  $\mathcal{R}_n$  и классы  $\pi^* \gamma_n$ , определяющие наши спектральные последовательности. И тут в дело вступает симплектическая геометрия.

Явные выражения для  $G_t'$  и  $G_t''$  в общем случае мало чем отличаются от приведенных выше для билинейной системы. В конце концов, произвольную систему вида (2) можно рассматривать как билинейную систему для группы диффеоморфизмов, а совсем произвольную систему (1) все равно приходится дифференцировать по  $u$ . Для систем вида (2) после подходящей замены переменных имеем

$$G_t' u = \int_0^t X_{\sigma} u(\sigma) d\sigma \Big|_{x_0}, \quad G_t''(z) = \int_0^t \left[ \int_0^{\sigma} X_{\sigma} z(\sigma) d\sigma, X_{\sigma} z(\sigma) \right] d\sigma \Big|_{x_0} + \text{span}\{X_{\sigma}(x_0), \sigma \in [0, t]\}$$

где  $X_{\sigma}$  — нестационарное поле, явно вычисляемое по  $f, g$  и исследуемому управлению.

Пусть  $\Pi = \text{span}\{X_{\sigma}(x_0), 0 \leq \sigma \leq t\} = \text{im } G_t'$  и  $\omega \perp \Pi$ . Рассмотрим кососимметричную форму  $\gamma_1, \gamma_2 \mapsto \omega[\gamma_1, \gamma_2](x_0)$

на пространстве  $\mathcal{E}_\Pi$  таких полей  $Y$ , что  $Y(x_0) \in \Pi$ .  
 Факторпространство  $\mathcal{E}_\Pi$  по ядру этой формы есть симплектическое пространство, изоморфное пространству  $\Pi \oplus \Pi^*$  со стандартным кососкалярным произведением. В этом пространстве (мы его обозначим  $\Sigma$ , а кососкалярное произведение  $\sigma$ ) фиксирована лагранжева плоскость  $\Pi_0$  - образ при отображении  $\mathcal{E}_\Pi \rightarrow \Sigma$  пространства полей, обращающихся в нуль в точке  $x_0$ . Пусть  $x_\tau(\omega) \in \Sigma$  - образ поля  $X_\tau$  (он действительно зависит от  $\omega$  в отличие от  $\Pi_0$ ). В таком случае

$$\omega \rho_\tau(\tau) = \int_0^\tau \sigma \left( \int_0^\tau x_0(\omega) \delta(\theta) d\theta, x_\tau(\omega) \delta(\tau) \right) d\tau, \int_0^\tau x_\tau(\omega) d\tau \in \Pi_0. \quad (3)$$

Рассмотрим многообразие  $L(\Sigma)$  всех лагранжевых плоскостей в  $\Sigma$  - лагранжев грассманиан. Если  $\dim \Sigma = 2m$  то  $\dim L(\Sigma) = \frac{m(m+1)}{2}$  и  $L(\Sigma)$  - естественная компактификация пространства квадратичных форм на  $\mathbb{R}^m$ .  
 В самом деле, множество всех  $m$ -мерных подпространств в  $\Sigma$  трансверсальных  $\Pi_0$ , очевидным образом отождествляется с пространством  $m \times m$ -матриц, среди них лагранжевы плоскости характеризуются тем, что им соответствуют симметричные матрицы.

Пусть  $\Pi_0^\uparrow$  - совокупность всех лагранжевых плоскостей трансверсальных  $\Pi_0$  и  $\Pi_0^\uparrow \ni \Delta$  - плоскость, отождествленная с началом координат в пространстве симметричных матриц. Тогда множество  $\Delta^\uparrow \cap \Pi_0^\uparrow$  отождествляется с множеством неособых симметричных матриц, а симплектические преобразования сохраняющие  $\Delta$  и  $\Pi_0$ , действуют на симметричные матрицы

как замены переменных на соответствующие квадратичные формы. Мы видим, что  $L(\Sigma)$  есть компактификация пространства квадратичных форм на  $\mathbb{R}^m$ , при которой "на бесконечности приклеивается конус особых форм". Например, при  $m=2$  пространство квадратичных форм трехмерно, конус особых форм — квадрата сигнатуры  $(1,2)$ , и  $L(\Sigma)$  совпадает с конформной компактификацией трехмерного пространства Минковского.

Интересно, что аналогичная компактификация пространства эрмитовых форм на  $\mathbb{C}^m$  дает групповое многообразие  $V(m)$ , а при  $m=2$  получается конформная компактификация стандартного четырехмерного пространства Минковского, столь популярная ныне из-за физических приложений.

Обратимся к интегральным квадратичным формам  $\omega$  (см. (4)). Имеется критерий конечности индекса таких форм. Если индекс формы  $\omega|_{P_\tau}$  конечен, то кривой  $\tau \mapsto \omega|_{P_\tau}$ ,  $0 \leq \tau \leq t$ , в пространстве интегральных форм ставится в соответствие кривая  $\tau \mapsto \Lambda_\tau(\omega) \in L(\Sigma)$  в  $L(\Sigma)$ ,  $\Lambda_0(\omega) = P_0$ , — якобиева кривая. Интуитивно  $\Lambda_\tau(\omega)$  — элемент компактификации пространства квадратичных форм на  $\mathbb{R}^m$  — можно представлять как производную по  $\tau$  (бесконечно мало приращение) семейства форм  $\omega|_{P_\tau}$ , заданных на подпространствах коразмерности  $v \leq m$  в  $L_2[0, \tau]$ .

Способ построения кривой  $\Lambda_\tau(\omega)$ ,  $0 \leq \tau \leq t$ , обобщает решение классического уравнения Якоби для регулярных вариационных задач. Поэтому она и называется якобиевой кривой. Интересно, однако, что в сильно вырожденных ситуациях нет однозначно определенного уравнения Якоби, но все варианты приводят к одной и той же кривой в  $L(\Sigma)$ .

"Бесконечно удаленная гиперповерхность"  $L(\Sigma) \setminus \Pi_0^n$  является псевдомногообразием коразмерности 1 в  $L(\Sigma)$ , она нормально ориентируема (ориентация индуцирована частичным порядком в пространстве квадратичных форм). Индекс пересечения произвольной кривой в  $L(\Sigma)$  с этой гиперповерхностью называется индексом Маслова кривой, при этом, как и в классической ситуации, индекс Маслова якобиевой кривой  $\Lambda_\sigma(\omega)$  совпадает с  $\text{ind } \omega \rho_\sigma$ . Имеется несколько красивых и эффективных способов вычисления индекса Маслова, поэтому, коль скоро кривые  $\Lambda_\sigma(\omega)$  построены, проблем с описанием фильтрации  $\mathcal{R}_n$  нет.

Мы видим, что целочисленной функции  $\text{ind}$  на пространстве квадратичных форм отвечает одномерный коцикл в  $L(\Sigma)$ , двойственный (по Пуанкаре) циклу  $L(\Sigma) \setminus \Pi_0^n$ . Осталось найти аналоги одномерных классов когомологий  $\gamma_n$ , можно догадаться, что ими должны быть некоторые двумерные классы когомологий, как-то определяемые парой  $L(\Sigma), \Pi_0 \in \mathbb{Z}$ . Подмножество  $G = \{A \in L(\Sigma) \mid \dim(A \cap \Pi_0) \geq 2\} \subset L(\Sigma) \setminus \Pi_0^n$  является псевдомногообразием коразмерности 3 в  $L(\Sigma)$ , оно определяет негомологичный нулю  $\mathbb{Z}_2$ -цикл в  $L(\Sigma)$ : класс когомологий двойственного (по Пуанкаре) коцикла совпадает с  $2\omega_1 \cup 2\omega_2 + 2\omega_3$ , где  $\omega_i$  - классы Штифеля - Уитни тавтологического расслоения над  $L(\Sigma)$ .

Фундаментальная группа многообразия  $L(\Sigma)$  - бесконечная циклическая, универсальную накрывающую  $\tilde{L}(\Sigma)$  можно явно описать, взяв счетное число экземпляров  $L(\Sigma)$  и определенным образом склеив их вдоль  $L(\Sigma) \setminus \Pi_0^n$ . Очень изящно способ склейки (т.е. подходящую топологию в множестве  $L(\Sigma) \times \mathbb{Z}$ ) можно описать с помощью так называемого индекса Маслова тройки лагранжевых плоскостей. Подробно это сде-


лано в книге: Лион, Вернь, "Представления Вейля, индекс Маслова и тэта-ряды". Прообраз цикла  $G$  в  $\tilde{L}(\Sigma)$  распадается в сумму бесконечного числа циклов  $\tilde{G}_n$  так, что  $\tilde{G}_n$  не пересекается с листами, имеющими номера  $> n+1$ . Циклы  $\tilde{G}_n$  гомологичны нулю в  $\tilde{L}(\Sigma)$ , поэтому определены двойственные к ним по Александру - Понтрягину двумерные классы когомологий  $\tilde{g}_n$  в  $\tilde{L}(\Sigma) \setminus \tilde{G}_n$ : значение класса  $\tilde{g}_n$  на произвольном цикле в  $\tilde{L}(\Sigma) \setminus \tilde{G}_n$  есть коэффициент зацепления *mod 2* этого цикла  $\tilde{G}_n$ . Классы  $\tilde{g}_n$  и являются искомыми аналогами классов  $\gamma_n$ .

Пусть  $\tilde{\Lambda}_\varepsilon(\omega) = (\Lambda_\varepsilon(\omega), \mu_\varepsilon(\omega)) \in \tilde{L}(\Sigma)$  - поднятие кривой  $\Lambda_\varepsilon(\omega)$  на универсальную накрывающую  $\tilde{L}(\Sigma)$ .

Нетрудно показать, что  $\mu_\varepsilon(\omega)$  монотонно возрастает и, по-существу совпадает с  $\text{ind } \omega \rho_\varepsilon$  (во всяком случае, при  $\Lambda_\varepsilon(\omega) \in \mathcal{P}_0^\uparrow$ ). Напомним, что  $\pi_\varepsilon: \omega \mapsto \omega \rho_\varepsilon, \omega \in \mathcal{R}$ .

Значение класса  $\pi^* \gamma_n$  на одномерном цикле  $C$  в  $(\mathcal{R}_{n+1}, \mathcal{R}_n)$  равно значению класса  $\tilde{g}_n$  на цикле

$$\begin{array}{c} \text{---} \tilde{\Lambda}_\varepsilon(\omega) \\ \text{---} \tilde{\Lambda}_\varepsilon(\omega), \omega \in C \end{array} \quad \text{в } \tilde{L}(\Sigma) \setminus \tilde{G}_n,$$

где "крышка"  произвольна, лишь бы она была расположена на листах с номерами  $\geq n+1$

4. В пп.2.3. рассказано, как вычислять группы (ко)гомологии множеств  $\bar{P}_\varepsilon^{-1}(K)$ , где  $P_\varepsilon = G_\varepsilon''$  - гессиан отображения  $G_\varepsilon$  в критической точке. Для того, чтобы оценить группы гомологий множеств  $\mathcal{U}_\varepsilon(x_0)$  (задача II), остается приспособить к рассматриваемой ситуации теорию Морса.

Пусть  $\varphi_t: W \rightarrow M, t \in \mathbb{R}$  - гладкое семейство гладких отображений,  $\alpha \in M$ , причем множества  $\varphi_t^{-1}(\alpha)$  компактны.

Положим  $V_t = \{(\tau, u) \mid \tau \leq t, \varphi_\tau(u) = \alpha\}$ . Если

$\alpha$ -регулярное значение отображения  $\varphi_t$ , то  $V_t$  гомотопически эквивалентно  $V_{t-\varepsilon}$  при малых  $\varepsilon > 0$ . Если же  $\alpha$  - критическое значение, то это не так.

Пару  $(t, u)$  назовем невырожденной критической точкой, если  $f_t(u) \notin \text{im } f_t'(u)$  (" $'$ " обозначает производную по  $t$ , а " $'$ " - производную по  $u$ ), а гессиан  $f_t''(u; \ker f_t'(u) \rightarrow \text{coker } f_t'(u))$  - квадратичное отображение, невырожденное относительно луча  $l = \mathbb{R}_+ f_t'(u) + \text{im } f_t'(u)$  в  $\text{coker } f_t'(u)$ .

**Предложение.** Предположим, что при данном  $t$  отображение  $\varphi_t$  принимает значение  $\alpha$  только в невырожденных критических точках, и пусть  $(t, u_\alpha), \alpha = 1, \dots, N$ , - все такие точки,  $l_\alpha \subset \text{coker } G_t'(u_\alpha)$  - соответствующие лучи,  $S_\alpha$  - единичная сфера в  $T_{u_\alpha} W$ . Тогда при достаточно малом  $\varepsilon > 0$  пространство  $V_{t+\varepsilon}$  гомотопически эквивалентно пространству  $V_t$  и

$$H_i(V_t, V_{t-\varepsilon}) \approx \bigoplus_{\alpha=1}^N \tilde{H}_{i-1}(f_t''(u_\alpha)(l_\alpha) \cap S_\alpha), \quad i > 0$$

Все это применимо и к управляемым системам, несмотря на то, что  $W$  бесконечномерно.